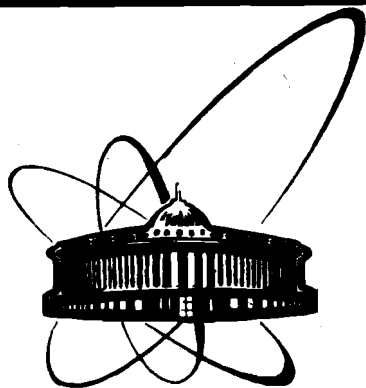


89-592



СООБЩЕНИЯ
ОБЪЕДИНЕННОГО
ИНСТИТУТА
ЯДЕРНЫХ
ИССЛЕДОВАНИЙ
ДУБНА

Б 241

P14-89-592

А. И. Баранов¹, А. И. Бескровный, И. Д. Датт²,
Л. А. Шувалов¹, Н. М. Щагина¹

НЕЙТРОНОГРАФИЧЕСКИЕ ДАННЫЕ
ПО ФАЗОВЫМ ПЕРЕХОДАМ В $\text{Rb}_3\text{H}(\text{SeO}_4)_2$

¹Институт кристаллографии им. А. В. Шубникова
АН СССР, Москва

²Московский химико-технологический институт
им. Д. И. Менделеева

1989

1. В последнее время интенсивно исследуются структурные фазовые переходы в кристаллах с короткими водородными связями состава $MeH(AO_4)_2$ ($Me = NH_4, Rb, Cs$; $A = S, Se$)^{/1-3/}.

$V^{1/}$ для кристалла $Rb_3H(SeO_4)_2$ при $T_1 = 449$ К установлен несобственный сегнетоэластический фазовый переход II рода с резким увеличением /примерно в 10^6 раз/ проводимости, обусловленный разупорядочением водородных связей низкотемпературной фазы /фазы III /.

При дальнейшем нагревании при $T_2 = 606$ К наблюдается вторая незначительная /по сравнению с первой/ аномалия проводимости: величина проводимости в этом случае составляла $\sigma \approx 10^{-2} - 10^{-1} \text{ Ом}^{-1} \cdot \text{см}^{-1}$. Аномалия проводимости при $T_2 = 606$ К, по мнению авторов^{/2/}, связана с наличием второго структурного фазового перехода $II \rightarrow I$.

Структура III^{/4/} и II^{/1/} фаз определена рентгенографически. В фазе III кристалл относится к моноклинной сингонии: $a_m = 10,475 \text{ \AA}$, $b_m = 6,09 \text{ \AA}$, $c_m = 15,418 \text{ \AA}$, $\beta = 102,91^\circ$, $z = 4$, пр. гр. $A2/a$; в фазе II - к ромбоэдрической: $a_h = 6,118 \text{ \AA}$, $c_h = 22,629 \text{ \AA}$, $z = 3$, пр. гр. $R\bar{3}m$ /гексагональная установка/.

Цель данного исследования $Rb_3H(SeO_4)_2$: первое - нейтронографическое определение пространственных групп, описывающих структуры III и II фаз, и получение информации о кристаллографических данных соединения при $T > T_2$. Первая задача связана с принципиальной возможностью переопределения пространственной группы при нейтронографической локализации в ее структуре атомов водорода /см.^{/5/} /. Решение второй задачи позволило бы высказать предположение о перестройке структуры при $T_2 = 606$ К. Представляет интерес при изучении этого соединения также определить влияние дейтеризации образца на структуру кристалла. С этой целью были измерены дифракционные спектры порошковых водородо- и дейтеросодержащих образцов.

2. Набор дифракционных данных получен на нейтронном дифрактометре по времени пролета ДН-2^{/7/} на импульсном реакторе ИБР-2. Позиционно-чувствительная детекторная система дифрактометра позволяла проводить измерение функции рассеяния в двумерных секторах обратного пространства: $0,1 \text{ \AA}^{-1} \leq H_{hkl} \leq 1,5 \text{ \AA}^{-1}$, $\Delta\theta = \pm 3^\circ$, где H_{hkl} - модуль вектора обратной решетки кристалла, $\Delta\theta$ - изменение угла Брэгга. От монокристалла в виде прямоугольного параллелепипеда $1 \times 3 \times 4$ мм были измерены порядки от-

ражений от различных кристаллографических плоскостей, включая базовые, фазы III при комнатной температуре и фазы II при $T \approx 480$ К. При $T \approx 630$ К /предполагаемая фаза I/ проведено сканирование обратного пространства кристалла в плоскостях (hko) , $(ho\ell)$ и $(ok\ell)$. В дальнейшем проводилось охлаждение образца до комнатной температуры и повторное сканирование обратного пространства в указанных выше плоскостях, а также дополнительно в плоскостях (hkk) . Измерения проводились при фиксированном среднем угле рассеяния $2\theta = 90^\circ$.

3. На основании анализа отражений от монокристалла для III и II фаз подтверждены определенные рентгенографически пространственные группы $A2/a$ /фаза III/ и $R\bar{3}m$ /фаза II/. Это следует и из дифракционных спектров порошковых образцов водородо- и дейтеросодержащих аналогов соединения в обеих фазах, что указывает тем самым на полную изоморфность $Rb_3D(SeO_4)_2$ и $Rb_3H(SeO_4)_2$ в исследуемом интервале температур. Параметры элементарных ячеек кристаллов в фазах III и II уточнялись по набору отражений от плоскостей монокристалла, а также при съемке порошковых образцов водородо- и дейтеросодержащего* аналогов при $2\theta = 135^\circ$ при комнатной температуре и температуре $T = 480$ К. Получены следующие значения параметров элементарных ячеек для III и II фаз, которые совпадают в пределах ошибок для $Rb_3H(SeO_4)_2$ и $Rb_3D(SeO_4)_2$: $a_m = 10,478(5) \text{ \AA}$, $b_m = 6,086(4) \text{ \AA}$, $c_m = 15,429(6) \text{ \AA}$, $\beta = 102,90(9)^\circ$, $v = 959,34 \text{ \AA}^3$, $z = 4$; $a_h = 6,115(4) \text{ \AA}$, $c_h = 22,613(8) \text{ \AA}$, $v = 732,38$, $z = 3$, что хорошо согласуется с^{1,4/}.

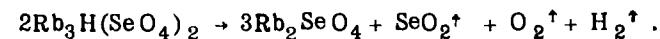
4. При сканировании обратного пространства монокристалла $Rb_3H(SeO_4)_2$ вокруг одного из возможных базисных направлений /съемка при $T = 630$ К и после охлаждения при $T = 290$ К/ установлено наличие гексагональной /или псевдогексагональной/ оси в исследуемой структуре. Однако описание структуры в рамках дифракционных классов тригональной или гексагональной сингоний оказалось невозможным из-за полного или частичного несоблюдения законов систематических погасаний. Полное описание измененного в этом случае набора дифракционных пиков было достигнуто с помощью ромбической ячейки с параметрами

$$a_0 = 7,96(2) \text{ \AA}, b_0 = 6,20(2) \text{ \AA}, c_0 = 10,77(3) \text{ \AA}, v = 532,0 \text{ \AA}^3.$$

Наблюдаемая от монокристалла дифракционная картина для указанных выше двух температур соответствует структуре Rb_2SeO_4 , ис-

следованной в '6' рентгенографически при комнатной температуре: $a_0 = 7,961 \text{ \AA}$, $b_0 = 6,161 \text{ \AA}$, $c_0 = 10,794 \text{ \AA}$, $v = 541,0 \text{ \AA}^3$, $z = 4$, пр. гр. P_{nma} *.

Набор межплоскостных расстояний, полученный из дифракционно-го спектра поликристаллического образца $Rb_3H(SeO_4)_2$, также указывает на то, что при $T > T_2$ исследуемое соединение полностью переходит в Rb_2SeO_4 . Отметим также, что наблюдаемые изменения параметров a , b , c при охлаждении образца от $T = 630$ К до комнатной температуры связаны с термическим сжатием кристалла и составляют $\approx 0,04 \div 0,06 \text{ \AA}$ и указывают на отсутствие структурного фазового перехода II \rightarrow III. Следовательно, при $T \geq T_2$ $Rb_3H(SeO_4)_2$ разлагается, образуя соединение Rb_2SeO_4 в результате химической реакции в твердом состоянии:



Существенно, что такое химическое превращение проходит без разрушения монокристаллического состояния исследуемого образца.

5. Характерные двумерные распределения интенсивности некоторых узлов обратной решетки монокристалла $Rb_3H(SeO_4)_2$ в фазах III и II, а также после перестройки структуры в Rb_2SeO_4

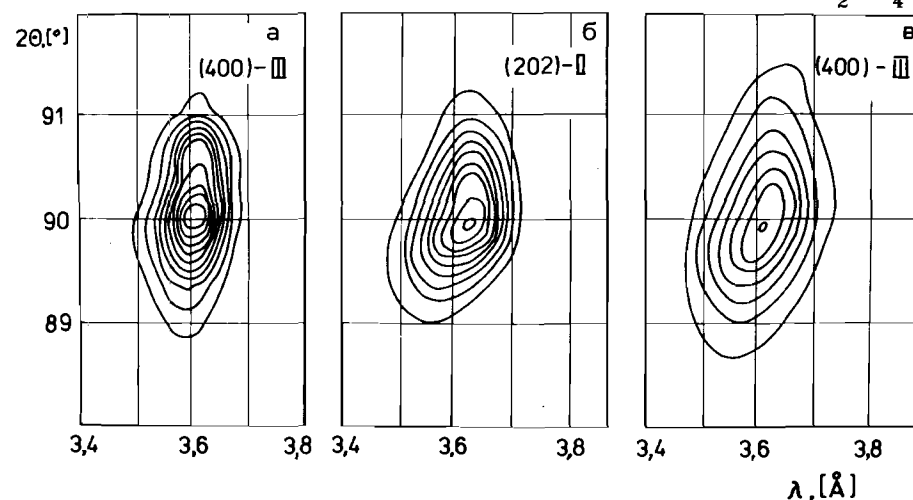


Рис.1. Распределение интенсивности в узле /400/ обратной решетки $Rb_3H(SeO_4)_2$: а - в исходном состоянии до нагрева; б - при температуре 630 К; в - после охлаждения до $T = 290$ К.

* Процент дейтеризации образца составлял $\sim 80\%$.

* В '6/ выбрана установка кристаллографических осей, соответствующая пространственной группе P_{nma} .

представлены на рис. 1а,б,в. Из распределений интенсивности в узле /400/ видно, что при фазовом переходе III → II [hoo] направление низкотемпературной фазы III переходит в [hohh] направление фазы II /рис. 1б/. При дальнейшем нагревании образца до температур, превышающих T_2 , и последующем охлаждении до комнатной температуры узел /400/ фазы III сохраняется, и наблюдается его размытие /рис. 1в/. Отсутствие в этом направлении каких-либо узлов кристалла Rb_2SeO_4 свидетельствует о том, что [hoo] направление обратной решетки фазы III не является главным направлением обратной решетки Rb_2SeO_4 . Уширение распределения интенсивности в узле /400/ /рис. 1в/ после охлаждения происходит из-за расщепления узла в результате образования доменной структуры /1/ при фазовом переходе II → III, так как при повторном нагреве выше T_1 уширение исчезает.

Иная картина наблюдается вдоль [ool] направления обратной решетки фазы III. Как видно из рис. 2а,б,в, это направление остается осевым в процессе всего цикла нагрева и охлаждения образца. Сосуществование фаз примерно в равных объемах достигается контролируемым временем выдержки образца при $T > T_2$ и составляет для монокристаллического образца объемом около $0,25 \text{ см}^3$ примерно 20 минут. При охлаждении образца до комнатной температуры наблюдается дифракционная картина, свидетельствующая о сосуществовании в образце в монокристаллическом состоянии структур $Rb_3H(SeO_4)_2$ и Rb_2SeO_4 , возникающей при тем-

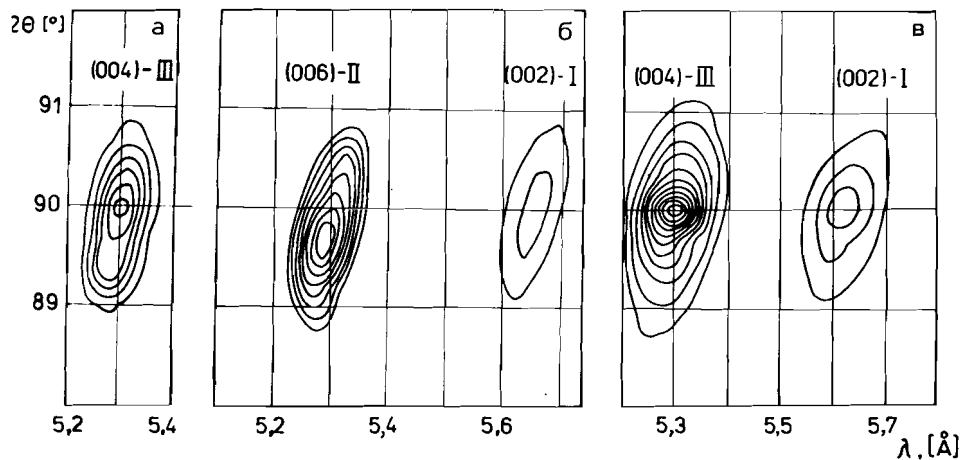


Рис. 2. Распределение интенсивности в узле /004/ обратной решетки $Rb_3H(SeO_4)_2$: а - исходное состояние до нагрева; б - при температуре 630 К; в - после охлаждения до $T=290 \text{ К}$.

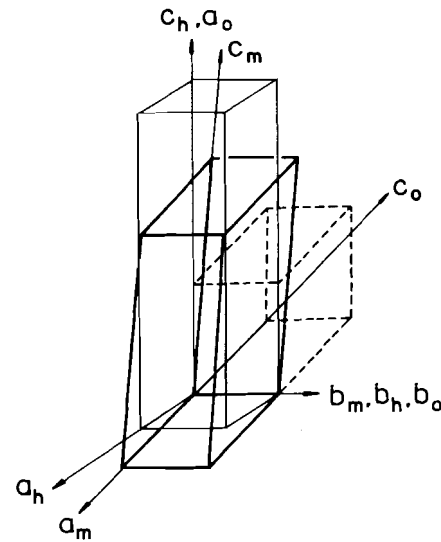


Рис. 3. Взаимосвязь элементарных ячеек фаз III, II - $Rb_3H(SeO_4)_2$ и сосуществующего с ним Rb_2SeO_4 .

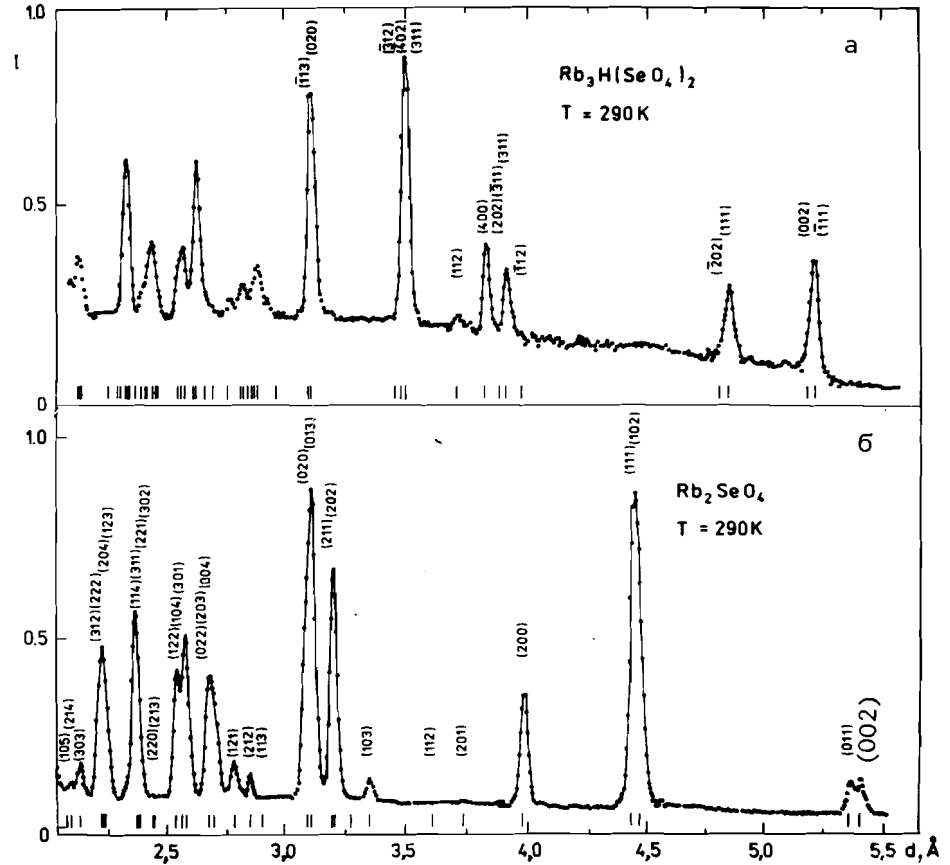


Рис. 4. Дифракционные спектры: а - исходного поликристаллического $Rb_3H(SeO_4)_2$, пр.гр. $C2/c$; б - после нагрева до 620 К и охлаждения до 290 К, пр.гр. $Pnma$.

пературах выше T_2 . Схема взаимной пространственной ориентации осей элементарных ячеек $Rb_3H(SeO_4)_2$ в фазах III и II, а также сосуществующего с ним кристалла Rb_2SeO_4 приведена на рис.3.

Вывод о необратимом превращении структуры $Rb_3H(SeO_4)_2$ в Rb_2SeO_4 при нагреве образца нашел подтверждение и при съемке нейтронограммы поликристаллического $Rb_3H(SeO_4)_2$ при комнатной температуре после его охлаждения от $T = 620$ К /рис.4/. Наблюдаемые дифракционные максимумы индицируются расчетными межплоскостными расстояниями ячейки Rb_2SeO_4 .

6. Возможная схема перехода фазы II в Rb_2SeO_4 может быть представлена следующим образом /рис.5/. Фазу II в ромбических осях с параметрами $a_0 = c_h = 22,61$ Å, $b_0 = b_h = 6,12$ Å, $c_0 = 2a_h \cos 30^\circ = 10,60$ Å, $z = 6$ сопоставим с элементарной ячейкой структуры Rb_2SeO_4 . В выбранных ячейках содержится 18 Rb, 6H, 12 SeO_4 и 8 Rb, 4 SeO_4 соответственно для структур $Rb_3H(SeO_4)_2$ и Rb_2SeO_4 . Кристаллографическое описание перестройки фазы II $Rb_3H(SeO_4)_2$ в структуру Rb_2SeO_4 в процессе химической реакции, указанной выше, необходимо проводить с учетом равенства числа атомов Rb в выбранных объемах. Такой баланс достигается для структуры $Rb_3H(SeO_4)_2$ в объеме четырех выбранных ромбических ячеек. В этом объеме при химической реакции образуется девять элементарных ячеек Rb_2SeO_4 с потерей 12 групп SeO_4 и 24 атомов H.

На рис.5 показано пространственное размещение атомов Rb и тетраэдров SeO_4 в Rb_2SeO_4 и в ячейке фазы II $Rb_3H(SeO_4)_2$. Видно, что при перестройке структуры $Rb_3H(SeO_4)_2$ в процессе разложения "нитевидный характер" группировок $3Rb + 2(SeO_4)$, существовавший в фазе II вдоль направления c_h , соединенных водородными связями между собой, разрушается, и образуется стабильный каркас анионных групп SeO_4 и катионов Rb^+ . При этом каждая пара анионов из группы $3Rb + 2(SeO_4)$ стремится занять близлежащие "собственные" пози-

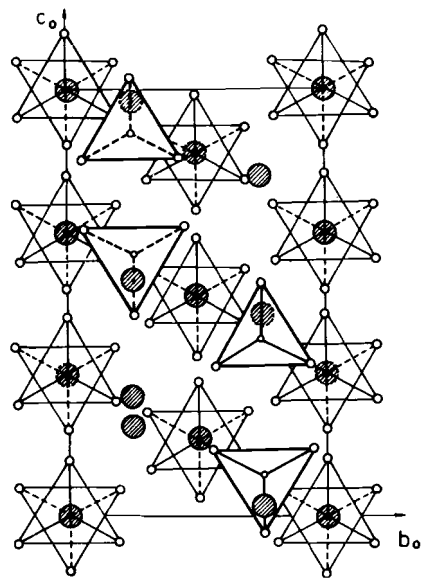


Рис.5. Проекция кристаллической структуры $Rb_3H(SeO_4)_2$ в фазе II и Rb_2SeO_4 /тетраэдры Rb_2SeO_4 показаны толстыми линиями/.

ции в структуре $Rb_2(SeO_4)$. Эквивалентность пространственного размещения групп $3Rb + 2(SeO_4)$ в структуре Rb_2SeO_4 приводит к тому, что при разложении $Rb_3H(SeO_4)_2$ избыточные группы SeO_4 покидают элементарную ячейку случайным образом.

7. Согласно приведенным выше результатам нейтронографического анализа изменение структуры при $T > T_2$ вызвано химическим превращением $Rb_3H(SeO_4)_2 \rightarrow Rb_2SeO_4$. Однако вид аномалий температурных зависимостей проводимости в окрестности $T > T_2$ указывает, что при нагревании $Rb_3H(SeO_4)_2$ до начала разложения, по всей видимости, происходит структурный фазовый переход. В дальнейшем с течением времени наблюдается уменьшение протонной проводимости, вызванное термическим разложением кристалла. В то же время отсутствие изменений в дифракционной картине при T_2 не подтверждает наличия структурного фазового перехода, и аномалия в проводимости в этом случае может быть вызвана диффузией водорода, покидающего кристалл при разложении.

Авторы благодарны А.М.Балагурову и Б.В.Меринуву за полезные обсуждения.

ЛИТЕРАТУРА

1. Баранов А.И. и др. - Кристаллография, 1987, т.32, с.682.
2. Баранов А.И. и др. - ФТТ, 1987, т.29, в.8, с.2513.
3. Varanov A.I. et al. - Ferroelectrics, 1988, Proceedings of 6-EMF.
4. Макарова И.П., Верин И.А., Щагина Н.М. - Кристаллография, 1986, т.31, в.1, с.178.
5. Балагуров А.М. и др. - ОИЯИ, P14-86-55, Дубна, 1986.
6. Takahashi I., Onodera A., Shiozaki Y. - Acta Cryst., 1987, с 43, p.179.

Рукопись поступила в издательский отдел
9 августа 1989 года.